

2 非线性方程

数值计算要解决的核心问题就是方程求解，包括非线性方程、非线性方程组和线性方程组。迭代是方程求解的基本方法。

如果一个函数 $f(x)$ 满足 (1) 可加性， $f(x+y)=f(x)+f(y)$ ，(2) 齐次性， $f(\lambda x)=\lambda f(x)$ ，则称 $f(x)$ 是线性函数，否则就是非线性函数。相应地，如果 $f(x)$ 是线性函数， $f(x)=c$ 就是线性方程，其中 c 是常数，称 $f(x)=0$ 为齐次方程；如果 $f(x)$ 是非线性函数， $f(x)=c$ 就是非线性方程。如果 $f(x)$ 是多项式，则称 $f(x)=c$ 为代数方程或多项式方程。非线性方程可能非常复杂，见下图：

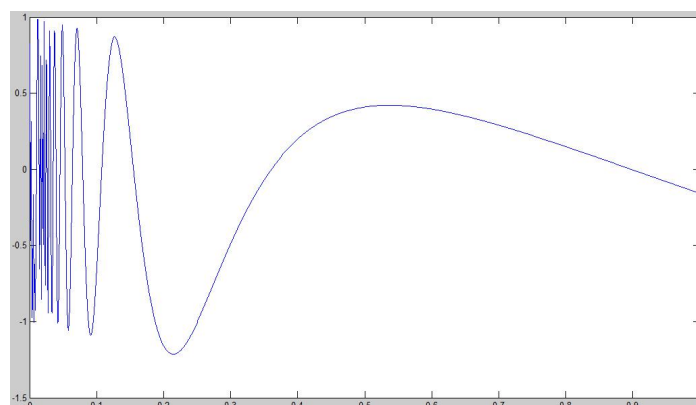


图 2.1 $f(x) = \sin\left(\frac{1}{x}\right) - x$ 在 $[0,1]$ 区间内的图像

一般记非线性方程为 $f(x)=0$ ， $f(x)$ 是超越函数或高次多项式。非

线性方程组的一般形式是：
$$\begin{cases} f_1(x_1, x_2, \dots, x_n) = 0 \\ f_2(x_1, x_2, \dots, x_n) = 0 \\ \dots \\ f_n(x_1, x_2, \dots, x_n) = 0 \end{cases}$$
。方程的解亦称方程

的根或函数的零点。根可能是实数或复数。若 $f(\alpha)=0, f'(\alpha) \neq 0$ ，则称 α

为单根：若 $f(\alpha)=f'(\alpha)=\cdots=f^{(k-1)}(\alpha)=0$ 而 $f^{(k)}(\alpha)\neq 0$ ，则称 α 为 k 重根，

见图 2.2。常见的求解问题有两类：

(1) 求解在给定范围内的某个解，

(2) 求解在给定范围内的全部解。

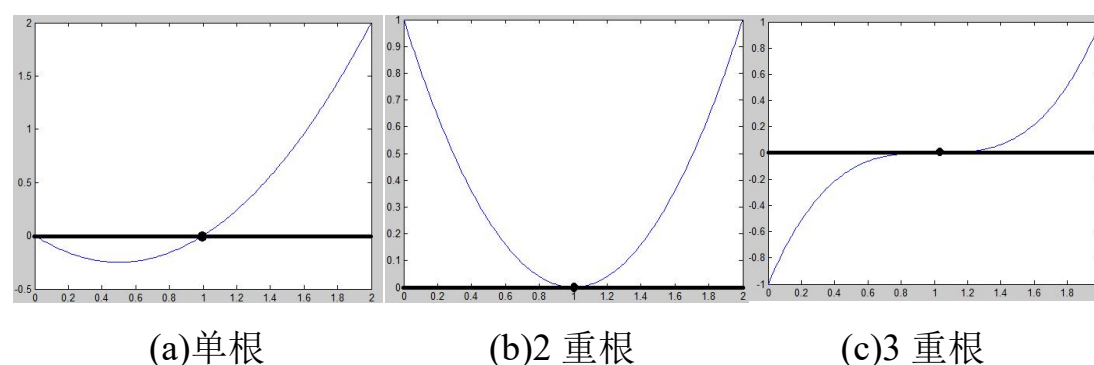


图 2.2 单根与重根

2.1 代数方程求根

塔塔利亚 (Niccolò Tartaglia) 三次方程求解方法。一元三次方程的一般形式是 $ax^3+bx^2+cx+d=0$ ，作一个线性变换（例如令 $x=y+h$ ，并适当选取 h ）就可以把方程的二次项消去，所以只考虑形如 $x^3=px+q$ 的三次方程。假设方程的解 x 可以写成 $a-b$ 的形式，其中 a 和 b 待定，带入方程有 $a^3-3a^2b+3ab^2-b^3=p(a-b)+q$ ，得到 $a^3-b^3=(a-b)(p+3ab)+q$ 。根据待定系数法的思路，要找到这样的 a 和 b ，满足 $a^3-b^3=q$ 且 $3ab+p=0$ 。 $a^3-b^3=q$ 的两边各乘以 $27a^3$ ，就得到 $27a^6-27a^3b^3=27qa^3$ 。由 $p=-3ab$ 可知 $27a^6+p^3=27qa^3$ 。这是一个关于 a^3 的二次方程，所以可以解得 a 。进而可解出 b 和根 x 。这个求解过程相当于在原始方程基础上，再增加两个变量 a 、 b 和两个方程 $x=a-b$ 及

$3ab+p=0$ ，构成一个非线性方程组，然后用一元二次方程求根公式直接求出 a ，再解出 b 和 x 。

直接用待定系数法也可以求解三次方程。对于三次方程的标准型 $x^3 = px + q$ ，可以假设其解形如： $x = \sqrt[3]{a} + \sqrt[3]{b}$ ，用待定系数法：

$$\begin{aligned}(\sqrt[3]{a} + \sqrt[3]{b})^3 &= p(\sqrt[3]{a} + \sqrt[3]{b}) + q \\ a + b + 3\sqrt[3]{a}\sqrt[3]{b}(\sqrt[3]{a} + \sqrt[3]{b}) &= p(\sqrt[3]{a} + \sqrt[3]{b}) + q\end{aligned}$$

令 $a + b = q$ ， $3\sqrt[3]{a}\sqrt[3]{b} = p$ 即 $ab = p^3 / 27$ ，求解二次方程：

$$y^2 - qy + p^3 / 27 = 0$$

得到三次方程的解如下：

$$x = \sqrt[3]{\frac{q}{2} - \sqrt{\left(\frac{q}{2}\right)^2 - \left(\frac{p}{3}\right)^3}} + \sqrt[3]{\frac{q}{2} + \sqrt{\left(\frac{q}{2}\right)^2 - \left(\frac{p}{3}\right)^3}} \dots\dots\dots (2.1)$$

注意此根式解存在的条件是 $\left(\frac{q}{2}\right)^2 - \left(\frac{p}{3}\right)^3 \geq 0$ 。

费拉里 (Ferrari L) 四次方程解法。与三次方程一样，可以用一个线性变换消去四次方程中的三次项，故只考虑下面形式的一元四次方程： $x^4 = px^2 + qx + r$ 。下一步把等式的两边配成完全平方式。对于参数 a ，有 $(x^2 + a)^2 = (p + 2a)x^2 + qx + r + a^2$ ，等式右边是完全平方式当且仅当它的判别式为 0，即

$$q^2 = 4(p + 2a)(r + a^2) \tag{2.2}$$

此为 a 的三次方程。利用一元三次方程的解法，可以解出参数 a 。这样原方程两边都是完全平方式，开方后就是一个关于 x 的一元二次方程，于是可以求解原方程。

下面讨论直接用求根公式求解存在的问题。直接用一元二次方程求根公式求解存在的问题，前面已经讨论过了。对于一元三次方程，直接用公式(1)求解是有问题的，见下面的测试程序。误差较大的原因是当 p 很小时， $\frac{q}{2}$ 与 $\sqrt{\left(\frac{q}{2}\right)^2 - \left(\frac{p}{3}\right)^3}$ 接近相等，出现了“相近的浮点数相减”现象，损失了精度。修正方法是先引入两个变量，令：

$$u = \sqrt[3]{\frac{q}{2} - \sqrt{\left(\frac{q}{2}\right)^2 - \left(\frac{p}{3}\right)^3}}, v = \sqrt[3]{\frac{q}{2} + \sqrt{\left(\frac{q}{2}\right)^2 - \left(\frac{p}{3}\right)^3}}, \text{ 于是 } u = \frac{uv}{v} = \frac{p}{3v}, \text{ 公式 (2.1)}$$

变为 $x = u + v = \frac{p}{3v} + v$ ，这是 q 为正时的情况， q 为负时处理方法类似。

程序示例 2.1 直接求解三次方程的测试程序（误差 1.e-6）

```
#include "stdafx.h"
#include "math.h"

// f(x) = x^3-px-q
// 方程: f(x) = 0
int main(int argc, char* argv[])
// 直接用公式求解
{
    double p, q, x, d, s, u, v, f;

    p = 1.e-6;
    q = 1.;

    d = q*q/4-p*p*p/27;
    s = sqrt(fabs(d));
    u = pow(fabs(q/2-s), 1./3);
    v = pow(fabs(q/2+s), 1./3);
    x = u+v; // 根

    f = x*x*x-p*x-q; // f(x), 修正前

    return 0;
}
```

程序示例 2.1 的运行结果是：

f	-1.0000000000287557e-006
p	9.999999999999995e-007
q	1.0000000000000000
x	1.0000000000000000

程序示例 2.2 用修正的公式求解三次方程的测试程序（误差为 0）

```
#include "stdafx.h"
#include "math.h"
```

```

// f(x) = x^3-px-q
// 方程: f(x) = 0
int main(int argc, char* argv[])
// 用修正的公式求解
{
    double p, q, x, d, s, u, v, f;

    p = 1.e-6;
    q = 1.;

    d = q*q/4-p*p*p/27;
    s = sqrt(fabs(d));
    v = pow(fabs(q/2+s), 1./3);
    u = p/3/v;
    x = u+v; // 根

    f = x*x*x-p*x-q; // f(x)

    return 0;
}

```

程序示例 2.2 的运行结果是：

f	0.000000000000000000
p	9.999999999999995e-007
q	1.000000000000000000
x	1.0000003333333334

一般情况下用求根公式得到的解都是有误差的，有必要对解进行修正。以一元三次方程为例，令 $f_0 = x_0^3 - px_0 - q$ 接近为 0，即 x_0 是近似解，给 x_0 一个修正量 ε ，代入原方程有 $(x_0 + \varepsilon)^3 = p(x_0 + \varepsilon) + q$ ，略去 ε 的高次项得到

$$\varepsilon \approx -\frac{f_0}{3x_0^2 - p} \quad (2.3)$$

将 x_0 修正为 $x_0 + \varepsilon$ 可提高精度。在后面的章节中将看到这就是 Newton 法的特例，该方法的关键是**迭代**，即反复修正。迭代是整个数值方法的核心。

程序示例 2.3 对解进行一次修正有效提高了精度

```

#include "stdafx.h"
#include "math.h"

// f(x) = x^3-px-q
// 方程: f(x) = 0

```

```

int main(int argc, char* argv[])
// 直接用公式求解
{
    double p, q, x, d, s, u, v, f;

    p = 1.e-6;
    q = 1.;

    d = q*q/4-p*p*p/27;
    s = sqrt(fabs(d));
    u = pow(fabs(q/2-s), 1./3);
    v = pow(fabs(q/2+s), 1./3);
    x = u+v; // 根

    f = x*x*x-p*x-q; // f(x), 修正前

    x = x-f/(3*x*x-p); // 修正
    f = x*x*x-p*x-q; // f(x), 修正后

    return 0;
}

```

程序示例 2.3 的运行结果是：

f	3.3306690738754696e-013
p	9.999999999999995e-007
q	1.0000000000000000
x	1.0000003333334444

利用求根公式进行求解，由于要进行多次平方根、立方根的计算，可造成一定的误差，所以求根公式不能直接使用。非线性问题，除少数情况外，一般不能用公式求解。一元五次及以上的方程没有一般的通解公式。通常采用迭代解法，即构造出一近似值序列逼近真解。解非线性方程和方程组有很大区别。解方程组要难得多，主要区别在于一维情形可以找到一个根的范围，然后逐步缩小根的范围，最终找到符合精度要求的根。而多维情况则很难确定根的存在。在后面的各节中，将针对一般非线性方程，介绍确定初始解、迭代求精、迭代加速以及步长调整等基本方法，并给出一些具体应用实例。

2.2 二分法

定理 2.1： 对于连续函数 $f(x)$ ，如果该函数在 a 和 b 处异号，即 $f(a) \cdot f(b) < 0$ ，则 $f(x)$ 在 $[a, b]$ 内至少有一个根。

二分法的基本思想是将区间 $[a, b]$ 逐步二等分，使得每次缩小的区间中始终包含 $f(x)$ 的根 x^* ，区间套 $[a_k, b_k]$ 满足： $[a_0, b_0] \supset [a_1, b_1] \supset [a_2, b_2] \cdots$ ，其中 $b_k - a_k = (b - a) / 2^k$ ， x^* 在区间 $[a_k, b_k]$ 内。令

$$x_k = (a_k + b_k) / 2 \quad (2.4)$$

于是 $|x^* - x_k| < (b_k - a_k) / 2 = (b - a) / 2^{k+1}$ 。所以当 k 充分大后， x_k 收敛到 x^* 。令 $(b - a) / 2^{k+1} < \varepsilon$ ，其中 ε 是收敛精度，可以推出 k 。二分法收敛的依据是闭区间套定理：闭区间 $[a_n, b_n]$ ， $n = 0, 1, 2, \dots$ ， $\forall n$ 满足 $[a_n, b_n] \supset [a_{n+1}, b_{n+1}]$ ，且 $\lim_{n \rightarrow \infty} (b_n - a_n) = 0$ ，则 $\exists \xi$ 满足 $\xi \in \bigcap [a_n, b_n]$ ，见图 2.3。

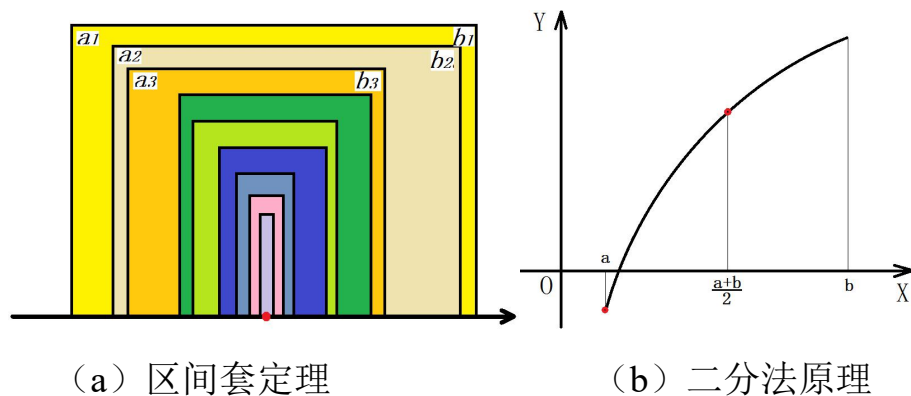


图 2.3 区间套与二分法

算法 2.1 二分法算法

Input: 函数 $f(x)$, 区间 $[a, b]$, $f(a) \cdot f(b) < 0$, 容差 $e > 0$, 最大迭代次数 max

Output: 根 x

Begin

For $i \leftarrow 0$ to max , do

$x \leftarrow a + (b - a) / 2$

If $|f(x)| < e$, then

Return Success

End If

If $f(a) * f(x) > 0$, then

$a \leftarrow x$;

Else

$b \leftarrow x$;

End If

End For

Return Error

End

【例】用二分法求解方程 $f(x) = x^3 - x - 1 = 0$ 在 $[1, 1.5]$ 内的解, 精度为 10^{-2} 。

解: 取初始区间 $[1, 1.5]$, 区间对分过程如下:

表 2.1 区间对分过程

序号	区间	区间端点函数值	中点及函数值
1	$[1, 1.5]$	$-1, 0.875$	$1.25, -0.2969$
2	$[1.25, 1.5]$	$-0.296875, 0.875$	$1.375, 0.2246$
3	$[1.25, 1.375]$	$-0.296875, 0.2246$	$1.3125, -0.05151$
4	$[1.3125, 1.375]$	$-0.05151, 0.2246$	$1.34375, 0.08261$
5	$[1.3125, 1.34375]$	$-0.05151, 0.08261$	$1.328125, 0.01458$
6	$[1.3125, 1.328125]$	$-0.05151, 0.01458$	$1.3203125, -0.01871$
7	$[1.3203125, 1.328125]$	$-0.01871, 0.01458$	$1.32421875, -0.002128$

满足精度要求的解为 1.32421875 。

二分法的特点:

1. 对函数要求比较低, 只要函数**连续即可**,
2. 收敛速度**慢**, 收敛速度与以 $1/2$ 为公比的等比级数相同, 没有充分利用函数值,
3. 一次对分过程只能求一个解, 不能求复根,
4. **一般用于为其它非线性方程快速求解方法提供初值。**

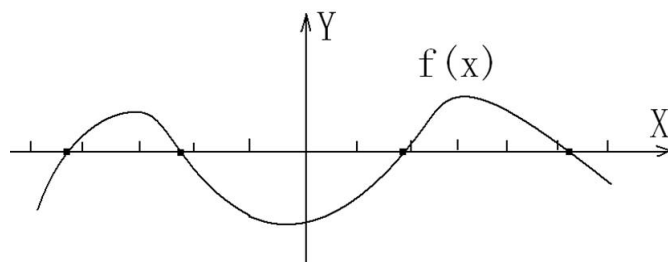


图 2.4 根所在区间的确定

区间的确定。可以用等分区间法估计区间 $[a,b]$ 。在 $f(x)$ 的连续区间 $[a,b]$ 内，选择一系列的 x 值 $x_1, x_2, x_3 \dots x_n$ （一般取等间距），观察 $f(x)$ 在这些点处的函数值的符号变化情况，当出现两个相邻点上的函数值异号时，根据根的存在定理，此小区间上至少有一个实根。

【例】确定 $f(x) = x^2 - 2x - 1 = 0$ 的有根区间。

解：设从 $x = 0$ 出发，取 $h = 0.25$ 为步长向右进行根的扫描，列表记录各个结点上函数值的符号，发现在区间 $(2.25, 2.5)$ 内必有实根，因此可取 $x_0 = 2.25$ 或 $x_0 = 2.5$ 作为根的初始近似值。在具体运用上述方法时，步长的选择是个关键。若步长 h 足够小，就可以求得任意精度的根的近似值；但 h 过小，在区间长度大时，会使计算量增大， h 过大，又可能出现漏根的现象。因此，这种根的隔离法，只适用于求根的初始值。

表 2.2 用等分区间法确定根所在的区间

x	0	0.25	0.5	0.75	1.	1.25	1.5	1.75	2	2.25	2.5	2.75	3
$f(x)$	—	—	—	—	—	—	—	—	—	—	+	+	+

迭代次数固定，
0.5分割区间长度最短

为什么按等分的方式进行区间的分割？假设初始区间为 $[0,1]$ ，取定一个固定的比例值 t ，满足 $0 < t < 1$ ，在每一步迭代过程中，按 $1-t$ 和 t 分割区间。对于一个子区间，零点出现在该子区间的概率与其长度成正比，所以在总计 n 次迭代过程中，按 $1-t$ 比例保留子区间的迭代

二项分布

次数约为 $(1-t)n$ ，按 t 比例保留子区间的迭代次数约为 tn 。故区间最终长度为 $(1-t)^{(1-t)n} t^{tn} = [(1-t)^{(1-t)} t^t]^n$ ，该长度越小表明精度越高。下图为函数 $\alpha(t) = (1-t)^{(1-t)} t^t$ 的图像，其最小值在 $t=0.5$ 达到。证明如下：令 $f(t) = (1-t)^{(1-t)}$ ，则 $\ln f = (1-t)\ln(1-t)$ ，此式两边求导得 $\frac{f'}{f} = -\ln(1-t) - 1$ ，于是 $f' = -[\ln(1-t) + 1]f$ ；同样令 $g(t) = t^t$ ，可得 $g' = (\ln t + 1)g$ 。由于 $\alpha(t) = f(t)g(t)$ ，所以 $\alpha' = f'g + fg'$ ， $\alpha(t)$ 取极值的条件是 $\alpha' = 0$ ，即 $\ln t = \ln(1-t)$ ，求解得 $t = 0.5$ 。

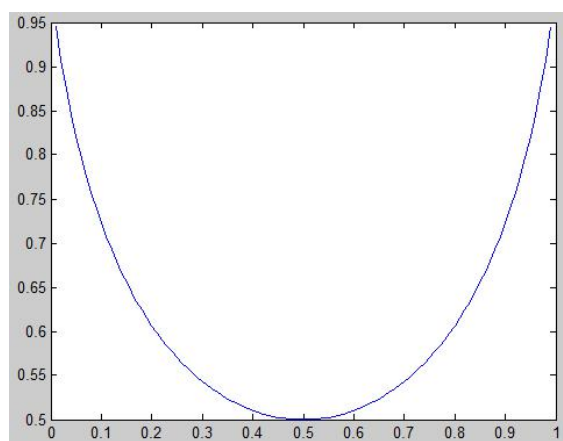


图 2.5 函数 $\alpha(t) = (1-t)^{(1-t)} t^t$ 的图像

下面介绍一种改进的二分法——混合法（参考 False Position Method）。在混合法迭代过程中，区间的分断点轮流取区间中点和割线交点，割线交点是函数两个端点的连线与 x 轴的交点（图 2.6），这样可期待更快的收敛速度。下面求解方程 $x^3 - x - 1 = 0$ 在 $[1, 1.5]$ 内的解，精度为 10^{-6} ，对比二分法和混合法，测试结果为：二分法迭代 19 次，混合法仅迭代 9 次。

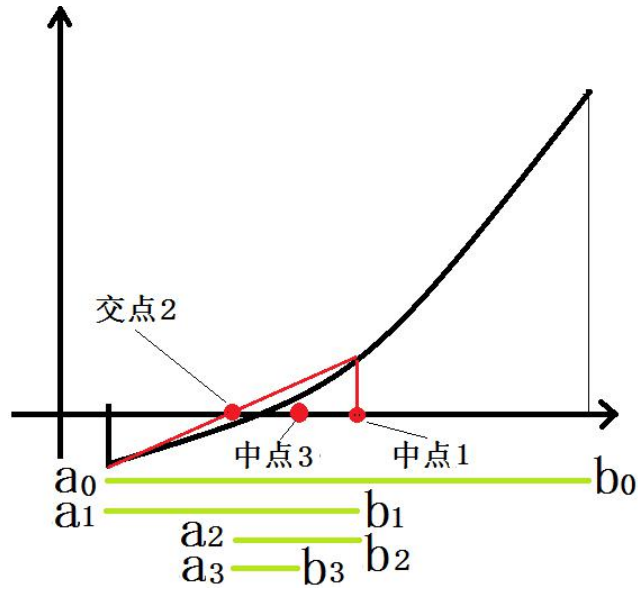


图 2.6 改进的二分法——混合法

程序示例 2.4 改进的二分法程序

```
#include "stdafx.h"
#include "math.h"
#include "stdio.h"

double f(double x)
{
    //return x*x*x-x-1.;
    return exp(0.693147180559945+x)-2.;
    //return (x-1.e-8)*(x-1.5);
}

/*   return -1:error, 0:no root, 1:one root, 3:迭代超过 max 次
*/
int sub2(double a,
        double b,
        double(*f)(double x),
        double e,
        int max,
        double& x)  C语言中没有引用
{
    int i;
    double x0, x1, y0, y1, y;

    y0 = f(a);
    y1 = f(b);
    if( fabs(y0) < e )
    {
        x = a;
        return 1;
    }
    else
    if( fabs(y1) < e )
    {
        x = b;
        return 1;
    }
    if( y0*y1 > 0. )
        return 0; // no root
    x0 = a;
```

```

x1 = b ;
for( i = 0 ; i < max ; i++ )
{
    x = 0.5*(x0+x1) ;
    y = f(x) ;
    if( fabs(y) < e )
        return 1 ;
    if( y0*y < 0. ) // [x0,x]
    {
        x1 = x ;
        y1 = y ;
    }
    else // [x,x1]
    {
        x0 = x ;
        y0 = y ;
    }
}

return 3 ;
}

int main(int argc, char* argv[])
{
    int rt ;
    double x ;

    rt = sub2(0., 1., f, 1.e-20, 100, x) ;

    return 0;
}

```

2.3 定点法

迭代法是求解非线性方程的基本方法。定点迭代法的思想是：将方程 $f(x)=0$ 转化为方程 $x=\varphi(x)$ ，构造

$$x_{k+1} = \varphi(x_k) \quad (2.5)$$

其中 $k=0,1,2,\dots$ 。给定初值 x_0 ，可以计算得到 $x_1=\varphi(x_0)$ ， $x_2=\varphi(x_1)$ ， \dots 。称 $\{x_k\}$ 为迭代序列，称 $\varphi(x)$ 为迭代函数。如果 $\{x_k\}$ 收敛于 x^* ，则 x^* 就是方程的解。迭代函数不唯一，也不一定收敛。

【例】求方程 $f(x)=x-2^x+1.5=0$ 的一个根。

解：因为 $f(0)>0$ ， $f(2)<0$ ，在 $[0, 2]$ 中必有根。将原方程改为 $2^x=x+1.5$ ， $x=\log_2(x+1.5)$ 。由此得迭代格式 $x_{k+1}=\log_2(x_k+1.5)$ ，取初始值 $x_0=0$ ，可逐次算得 $x_1=0.5850$ ， $x_2=1.0600$ ， $x_3=1.3562$ ， $x_4=1.5141$ ， \dots ， x_{14}

$= 1.6598$, $x_{15} = 1.6598$, 所以取 $x = 1.6598$ 为根。

如改写成 $x = 2^x - 1.5$ 且取 $x_0 = 2$, 则迭代序列不收敛。定点法的收敛条件是什么?

定理 2.2 如果 $\varphi(x)$ 满足下列条件 (1) 当 $x \in [a, b]$ 时, $\varphi(x) \in [a, b]$, (2) 对任意 $x \in [a, b]$, 存在 $0 < L < 1$, 使 $|\varphi'(x)| \leq L < 1$ 。则方程 $x = \varphi(x)$ 在 $[a, b]$ 上有唯一的根 x^* , 且对任意初值 $x_0 \in [a, b]$ 时, 迭代序列 $x_{k+1} = \varphi(x_k)$, $k = 0, 1, 2, \dots$, 收敛于 x^* , 见图 2.7。

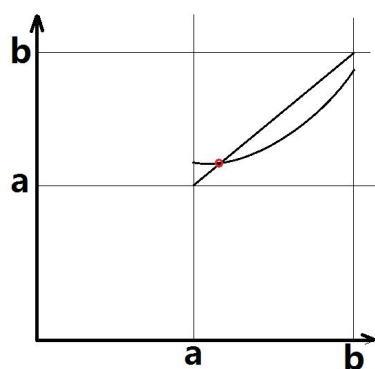


图 2.7 定点法的收敛条件

1912 年荷兰数学家布劳威尔 (L.Brouwer) 证明了不动点定理:
假设 D 是某个圆盘中的点集, f 是一个从 D 到它自身的连续函数, 则存在点 x 满足 $f(x) = x$ 。有这样一个推论: 把一张当地的地图平铺在地上, 则总能在地图上找到一点, 这个点下面的地上的点正好就是它在地图上所表示的位置, 见图 2.8 和图 2.9。

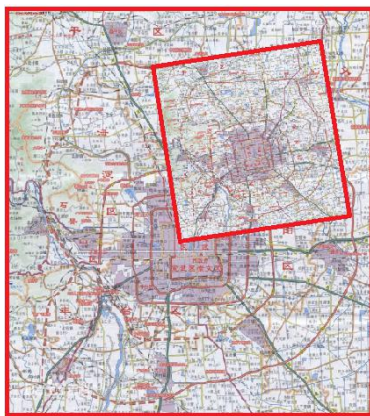


图 2.8 两张幅面不同的地图重叠——存在“不动点”

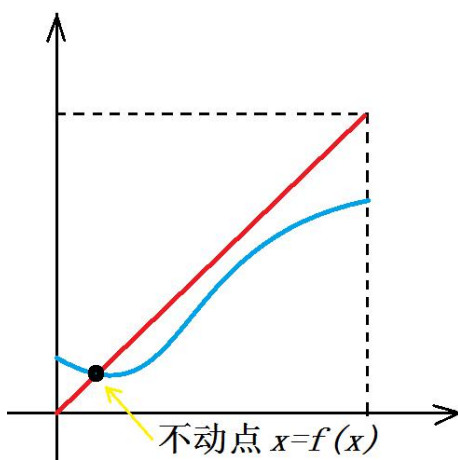


图 2.9 不动点定理的一维情况

有根性：

考虑到 $f(x) = x - \varphi(x)$, $f(a) \leq 0$, $f(b) \geq 0$, $f'(x) = 1 - \varphi'(x) > 0$, 所以 $x = \varphi(x)$

有根并且是唯一的，参考图 2.10。

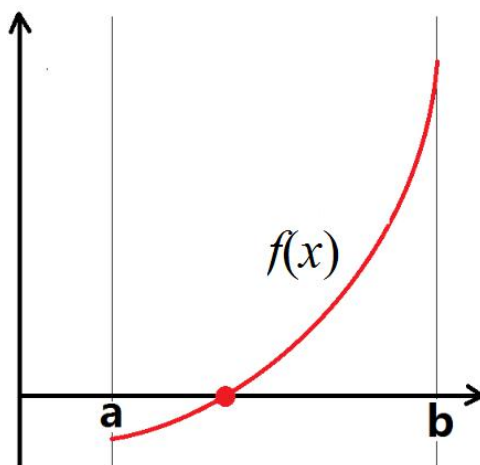


图 2.10 定义 $f(x) = x - \varphi(x)$

收敛性:

在下面的讨论中用到了：(1)等比级数求和公式

$1+q+q^2+\dots+q^n=\frac{1-q^{n+1}}{1-q}$ ；(2)柯西定理(Cauchy)：如果数列 $\{a_n\}$ 满足对

$\forall \varepsilon > 0, \exists N$ ，使对 $\forall n > N$ 和 $m > N$ ，有 $|a_n - a_m| < \varepsilon$ ，则该数列收敛。(注

意：可以证明柯西数列有界，有界就有收敛子列，可证柯西数列随子

列收敛。)；(3)拉格朗日中值定理(Lagrange)：如果函数 $f(x)$ 在 $[a,b]$ 上

连续、在 (a,b) 可导，则 $\exists \xi \in (a,b)$ 满足 $f(b)-f(a)=f'(\xi)(b-a)$ 。

令 $x_{k+1}=\varphi(x_k)$ ， $\varphi(x)$ 满足定理中的收敛条件。为应用柯西定理证明 $\{x_n\}$ 收敛，需推出几个不等式公式：

先推出两个需要用到的不等式。使用 $x=\varphi(x)$ 和拉格朗日中值定理可以推出， $|x_{k+1}-x_k|=|\varphi(x_k)-\varphi(x_{k-1})|=|\varphi'(\xi)||x_k-x_{k-1}|\leq L|x_k-x_{k-1}|$ ，其中 $L < 1$ ，

所以有 $|x_{k+1}-x_k|\leq L^k|x_1-x_0|$ 。同样方法可以证明：对于整数 $r > 0$ 有 $|x_{k+r}-x_{k+r-1}|\leq L^r|x_k-x_{k-1}|$ 。

再推出一个需要用到的不等式：对于任意正整数 p ，有

$|x_{k+p}-x_k|=|x_{k+p}-x_{k+p-1}+x_{k+p-1}-x_{k+p-2}+x_{k+p-2}-\dots-x_k|\leq (L^p+\dots+L)|x_k-x_{k-1}|$ ，所

以有 $|x_{k+p}-x_k|<\frac{L}{1-L}|x_k-x_{k-1}|$ ，即只要 $|x_k-x_{k-1}|$ 充分小，就可以保证

$|x_{k+p}-x_k|$ 足够小。

对于 $\forall \varepsilon > 0$ ，令 $N=\left\lceil \frac{\ln \frac{2|x_1-x_0|}{\varepsilon(1-L)}}{\ln \frac{1}{L}} \right\rceil + 1$ ，其中 $[x]$ 表示不超过实数 x 的

最大整数，于是 $\frac{2L^N}{1-L}|x_1-x_0|<\varepsilon$ 。对 $\forall n > N$ 和 $m > N$ ，根据前面推导出的

两个不等式公式有：

$$\begin{aligned}
|x_n - x_m| &< |x_n - x_N| + |x_m - x_N| \\
&< \frac{2L}{1-L} |x_N - x_{N-1}| \\
&\leq \frac{2L^N}{1-L} |x_1 - x_0| \\
&< \varepsilon
\end{aligned}$$

所以根据柯西定理知 $\{x_n\}$ 收敛，故存在**极限** x^* 。

在求根过程中 x^* 是不知道的，不可能用 $|x^* - x_k| < \varepsilon$ 来作为迭代结束条件，可用 $|x_k - x_{k-1}|$ **控制迭代次数**。下面证明这个结论。由于

$$\begin{aligned}
|x^* - x_{k+1}| &= |\varphi(x^*) - \varphi(x_k)| = |\varphi'(\xi)| |x^* - x_k| \leq L |x^* - x_k| \\
&\leq L (|x^* - x_{k+1}| + |x_{k+1} - x_k|)
\end{aligned}$$

可以推导出：

$$(1-L)|x^* - x_{k+1}| \leq L|x_{k+1} - x_k|$$

$$|x^* - x_{k+1}| \leq \frac{L}{(1-L)} |x_{k+1} - x_k|$$

所以可用 $|x_k - x_{k-1}|$ 控制迭代次数。

【例】求方程 $x^3 - 5x + 1 = 0$ 在 $[0, 1]$ 内的根，精确到 10^{-4} 。

解：将方程变形为 $x = \frac{1}{5}(x^3 + 1) = \varphi(x)$ 。 $\varphi'(x) = 0.6x^2 > 0$ ， $\varphi(x)$ 在 $[0, 1]$ 内为增函数，所以 $L = \max|\varphi'(x)| < 1$ 满足收敛条件，取 $x_0 = 0.5$ ，则

$$x_1 = \varphi(x_0) = 0.225,$$

$$x_2 = \varphi(x_1) = 0.2023,$$

$$x_3 = \varphi(x_2) = 0.2017,$$

$$x_4 = \varphi(x_3) = 0.2016,$$

$$x_5 = \varphi(x_4) = 0.2016,$$

近似根为 $x^* = 0.2016$ 。

【例】 求 25 的立方根，精确到 10^{-6} 。

解： 求解方程 $x^3 = 25$ ，由于 $2.9^3 = 24.389$ ，显然解在区间 $[2.9, 3]$ 之内。

令

$$\varphi(x) = x - \frac{x^3 - 25}{3x^2}$$

在区间 $[2.9, 3]$ 内可验证

$$|\varphi'(x)| = \left| 1 - \frac{3x^2 \cdot 3x^2 - (x^3 - 25) \cdot 6x}{6x^4} \right| = \left| \frac{1}{2} - \frac{25}{x^3} \right| < 1$$

所以取 $x_0 = 2.9$ ， $x_{n+1} = \varphi(x_n)$ 迭代收敛。迭代过程如下：

$$x_1 = \varphi(x_0) \approx 2.924217$$

$$x_2 = \varphi(x_1) \approx 2.924018$$

$$x_3 = \varphi(x_2) \approx 2.924018$$

25 的立方根近似解为 $x^* = 2.924018$ 。

收敛速度：

定义： 设序列 $\{x_k\}$ 收敛于方程的根 x^* ，如果存在正实数 p ，使得

$$\lim_{k \rightarrow \infty} \frac{|x^* - x_{k+1}|}{|x^* - x_k|^p} = C \quad (C \text{ 为非零常数})，\text{ 则称序列 } \{x_k\} \text{ 收敛于 } x^* \text{ 的收敛速度}$$

是 p 阶的。

当 $p = 1$ 时，称为线性收敛；当 $p = 2$ 时，称为二次收敛，或平方收敛。若 $\varphi'(x)$ 连续，且 $\varphi'(x^*) \neq 0$ ，则迭代格式 $x_{k+1} = \varphi(x_k)$ 必为线性收敛。

因 为 由 $|x^* - x_{k+1}| = |\varphi(x^*) - \varphi(x_k)| = |\varphi'(\xi)| |x^* - x_k|$ ，可推出

$$\lim_{k \rightarrow \infty} \frac{|x^* - x_{k+1}|}{|x^* - x_k|} = |\varphi'(x^*)| \neq 0。$$

迭代加速：

下面讨论迭代法的埃特金（Aitken）加速。假设 $x_{k+1} = \phi(x_k)$ 是收敛

的，因此有 $\lim_{k \rightarrow \infty} \frac{x_{k+1} - x^*}{x_k - x^*} = \phi'(x^*)$ 。当 k 充分大以后

$$\frac{x_{k+2} - x^*}{x_{k+1} - x^*} \approx \frac{x_{k+1} - x^*}{x_k - x^*} \quad (2.6)$$

从（2.6）式中解出

$$x^* \approx \frac{x_k x_{k+2} - x_{k+1}^2}{x_{k+2} - 2x_{k+1} + x_k} \quad (2.7)$$

（2.7）式作为 x_k 则可能精度更高。埃特金加速法的几何意义见下图：

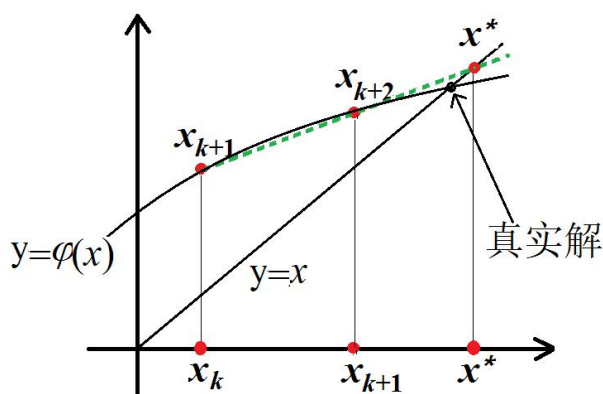


图 2.11 埃特金加速

程序示例 2.5 定点法程序实例

```
#include "stdafx.h"
#include "math.h"

// 用定点法解方程: x = 0.25*exp(x)
double fai(double x)
{
    return 0.25*exp(x);
}

// 迭代 34 次的解为 0.35740295618138967, 精度 1.e-15
int main()
{
    int i;
    double x0 = 1., x1, e = 1.e-15;

    for(i = 0; i < 64; i++)
    {
        x1 = fai(x0);
        if( fabs(x1-x0) < e )
            return 1;
        x0 = x1;
    }
}
```

```

    }
    return 0;
}

```

程序示例 2.6 带埃特金加速的定点法程序实例

```

int main()
{
    int i ;
    double x0 = 1., x1, x2, x, y, d, e = 1.e-15 ;

    x1 = fai(x0) ;
    for( i = 0 ; i < 64 ; i++ )
    {
        x2 = fai(x1) ;
        if( fabs(x2-x1) < e )
            return 1 ;
        d = x2-2*x1+x0 ;
        if( fabs(d) > 1.e-20 )
        {
            x = (x0*x2-x1*x1)/d ;
            y = fai(x) ;
            if( fabs(x-y) < e )
                return 1 ;
        }
        x0 = x1 ;
        x1 = x2 ;
    }

    return 0;
}

```

表 2.3 埃特金加速程序实例测试结果

i	$x_2 - x_1$	$y - x$	d
0	-0.1863	0.0816	0.1341
1	-0.0838	0.0107	0.1024
2	-0.0329	0.0014	0.0509
3	-0.0122	0.0002	0.0207
4	-0.0044	2.385e-5	0.0077
5	-0.0016	3.055e-6	0.0028

从表 2.1 埃特金加速程序实例测试结果可以看出，埃特金加速在迭代的开始阶段是非常有效的。值得注意的是随着不断迭代， d 值趋于 0，导致埃特金加速加速失效。此现象揭示在数值计算中要避免相近的数相减。

2.4 牛顿法

牛顿法(Newton)利用非线性方程 $f(x)=0$ 的切线实现迭代过程，

是实用有效的求解非线性方程的方法之一。已知方程 $f(x)=0$ 的一个近似根 x_0 ，将 $f(x)$ 在 x_0 处作泰勒展开，

$$f(x) = f(x_0) + f'(x_0)(x - x_0) + \frac{f''(x_0)}{2!}(x - x_0)^2 + \dots \quad (2.8)$$

取 (2.8) 式中的前两项来近似代替 $f(x)$ ，则得近似的线性方程

$$f(x_0) + f'(x_0)(x - x_0) = 0。 \text{ 设 } f'(x_0) \neq 0, \text{ 解得 } x = x_0 - \frac{f(x_0)}{f'(x_0)} \text{ 作为近似根 } x_1,$$

于是

$$x_{k+1} = x_k - \frac{f(x_k)}{f'(x_k)} \quad (2.9)$$

称(2.9)式为求解 $f(x)=0$ 的牛顿迭代公式， $\{x_k\}$ 称为牛顿迭代序列。

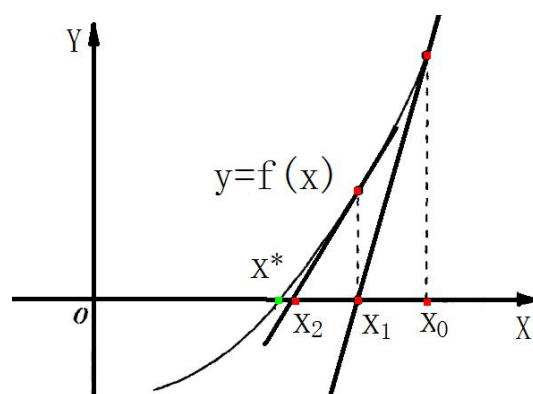


图 2.12 牛顿法的迭代过程

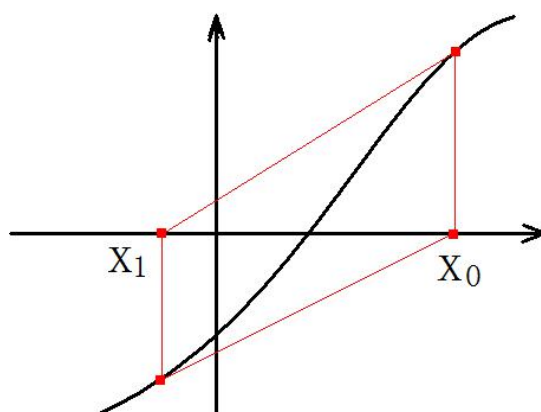


图 2.13 牛顿法迭代不收敛的情况

牛顿法的几何意义。求得 x_k 以后，过曲线 $y=f(x)$ 上对应点 $(x_k, f(x_k))$ 作切线，切线为 $y=f(x_k)+f'(x_k)(x-x_k)$ 。求切线和 x 轴交点，即得 x_{k+1} ，因此牛顿法也称**切线法**，参考图 2.12。对于 $y=f(x)$ 有拐点且初始点不在零点附近，牛顿迭代可能不收敛，见图 2.13。

收敛性：

将牛顿法公式对应的定点法迭代格式为

$$\varphi(x) = x - \frac{f(x)}{f'(x)} \quad (2.10)$$

由于 $|\varphi'(x)| = \frac{|f''(x)|}{[f'(x)]^2} |f(x)|$ ，若在根 x^* 某个邻域 $R: |x^* - x| \leq \delta$ 内，

$f'(x) \neq 0$ ， $f''(x)$ 有界，只要 $|f(x)|$ 充分小，就能使 $|\varphi'(x)| \leq L < 1$ ，牛顿迭代法收敛于 x^* 。也就是说牛顿法在零点局部一定收敛，那么牛顿法在某个区间上的收敛条件是什么？

定理 2.3 设 $f(x)$ 在 $[a, b]$ 上二阶导数连续，满足下列条件：

(1) $f(a)f(b) < 0$ ；

(2) $f'(x) \neq 0$ ；

(3) $f''(x)$ 保号，即 $f''(x)$ 在 $[a, b]$ 内恒大于 0 或恒小于 0；

(4) $\left| \frac{f(a)}{f'(a)} \right| \leq b-a, \left| \frac{f(b)}{f'(b)} \right| \leq b-a$ 。

则对任意 $[a, b]$ 内的初始值 x_0 牛顿迭代序列 $\{x_k\}$ 收敛于 $f(x)$ 在 $[a, b]$ 上的唯一根 x^* 。

条件(1)保证根的存在，条件(2)表示 $f(x)$ 单调，所以根唯一，条件(3)保证曲线的凸凹向不变，见图 2.14。

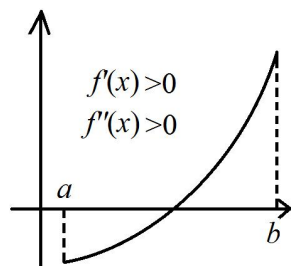


图 2.14 $f''(x)$ 保号保证了函数凸凹性不变

下面证明定理 2.3。

首先，假设 $f'(x) > 0$ ，即函数单增。由条件(1)和(2)可推出 $\frac{f(a)}{f'(a)} \leq 0$ 和 $\frac{f(b)}{f'(b)} \geq 0$ 。

其次，令 $\varphi(x) = x - \frac{f(x)}{f'(x)}$ ，于是 $\varphi'(x) = \frac{f''(x)}{[f'(x)]^2} f(x)$ ，令 x^* 满足 $f(x^*) = 0$ ，则 $\varphi(x)$ 的极值只能是 $\varphi(a)$ 、 $\varphi(b)$ 和 $\varphi(x^*) = x^*$ ，再根据条件(4)得到 $a \leq \varphi(x) \leq b$ ，这就证明了 $\{x_k\}$ 有界。

然后，令 $x = x_k$ ， $\Delta x = -\frac{f(x_k)}{f'(x_k)}$ ，将此两个式子代入 Taylor 公式 $f(x + \Delta x) = f(x) + \Delta x f'(x) + \frac{\Delta x^2}{2} f''(\xi)$ 得 $f(x_{k+1}) = \frac{\Delta x^2}{2} f''(\xi)$ ，由于 $f''(x)$ 保号，所以 $f(x_{k+1})$ 保号， $\Delta x = -\frac{f(x_k)}{f'(x_k)}$ 也保号，所以 $\{x_k\}$ 单调 ($k > 0$)。

最后，由 $\{x_k\}$ 单调有界知 $\{x_k\}$ 收敛。假设 $\{x_k\}$ 收敛于 \bar{x} ，由于 $x_{k+1} = x_k - \frac{f(x_k)}{f'(x_k)}$ ，所以 $\frac{f(x_k)}{f'(x_k)}$ 收敛于 0，即 $f(\bar{x})$ 等于 0。

平方收敛：

牛顿法的优点是平方收敛的。将 $f(x)$ 在 x_k 处按泰勒展开， x^* 代替 x 得

$$f(x^*) = f(x_k) + f'(x_k)(x^* - x_k) + \frac{f''(\xi)}{2!}(x^* - x_k)^2 = 0 \quad (2.11)$$

所以有 $f(x_k) + f'(x_k)(x^* - x_k) = -\frac{1}{2}f''(\xi)(x^* - x_k)^2$ ，用导数 $f'(x_k)$ 除上式左右两端，整理后得到 $x^* - x_k + \frac{f(x_k)}{f'(x_k)} = -\frac{1}{2} \frac{f''(\xi)}{f'(x_k)}(x^* - x_k)^2$ ，即

$x^* - x_{k+1} = -\frac{1}{2} \frac{f''(\xi)}{f'(x_k)}(x^* - x_k)^2$ 。所以当 $k \rightarrow \infty$ 时有

$$\frac{|x^* - x_{k+1}|}{|x^* - x_k|^2} = \left| \frac{f''(\xi)}{2f'(x_k)} \right| \rightarrow \left| \frac{f''(x^*)}{f'(x^*)} \right| \quad (2.12)$$

故牛顿法是平方收敛的。

牛顿算法的流程图见图 2.15：

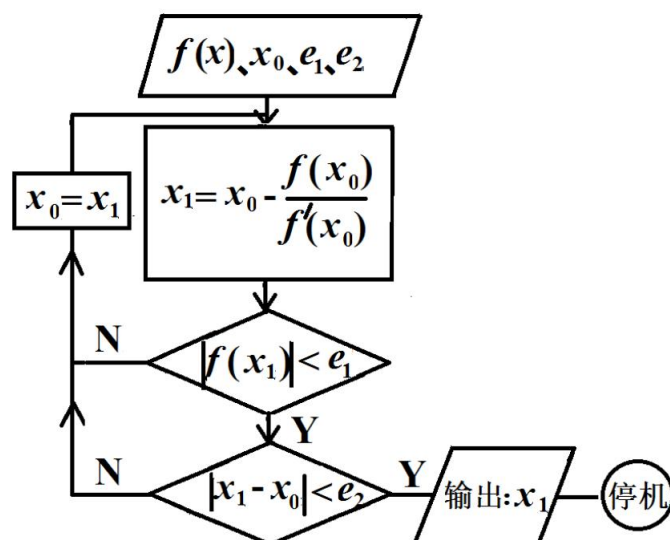


图 2.15 牛顿法算法流程图($f'(x) \neq 0, e_1 > 0, e_2 > 0$ 是容差)

【例】用牛顿法解方程 $f(x) = x(x+1)^2 - 1 = 0$ 在 0.4 附近的根。

解：由于 $f'(x) = (x+1)(3x+1)$ ，所以

$$x_{k+1} = x_k - \frac{f(x_k)}{f'(x_k)} = x_k - \frac{x_k(x_k+1)^2 - 1}{(x_k+1)(3x_k+1)}$$

迭代结果见下表，取 x^* 为 0.46557，见表 2.4。

表 2.4

k	0	1	2	3
x_k	0.4	0.47013	0.46559	0.46557

【例】构建牛顿迭代公式求解平方根 $\sqrt{d}(d > 0)$ 。

解：设 $f(x) = x^2 - d$ ，因为 $f'(x) = 2x$ ，得迭代公式：

$$x_{k+1} = x_k - \frac{x_k^2 - d}{2x_k}$$

化简得

$$x_{k+1} = \frac{1}{2} \left(x_k + \frac{d}{x_k} \right)$$

下面给出实现牛顿迭代过程的参考代码（ $f(x)$ 和 $df(x)$ 用于计算函数值及其导数值，容差 $e1 > 0$ 用于判断迭代是否收敛，容差 $e2 > 0$ 用于判断导数是否为0）：

程序示例 2.7 牛顿迭代基本算法

```
double f(double x)
{
    // 计算并返回函数值 f(x)...
}

double df(double x)
{
    // 计算并返回函数导数值 f'(x)...
}

// 牛顿迭代过程，x0 是初值，
int newton(double(*f)(double x),
           double(*df)(double x),
           double x0,
           double e1,
           double e2,
           int max,
           double& x)
{
    int i;
    double y, d;

    x = x0;
    for(i = 0; i < max; i++)
    {
        y = f(x);
        d = df(x);
        if( fabs(d) < e2 )
            return 0;
        d = y/d;
        x -= d;
        if( fabs(d) < e1 ) // 收敛
            return 1;
    }
}
```

```

    }
    return 0;
}

```

2.5 牛顿下山法

牛顿法对初始值 x_0 要求较高。牛顿法下山法可提高牛顿法的收敛性：将牛顿法迭代公式修改为

$$x_{k+1} = x_k - \lambda \frac{f(x_k)}{f'(x_k)} \quad (2.13)$$

其中 $k = 0, 1, 2, \dots$, $\lambda > 0$ 是一个参数, λ 的选取应使 $|f(x_{k+1})| < |f(x_k)|$ 成立。当 $|f(x_{k+1})| < \varepsilon_1$ 且 $|x_{k+1} - x_k| < \varepsilon_2$ 时 (ε_1 为 y 值精度, ε_2 为 x 值精度), 就停止迭代, 取 $x^* \approx x_{k+1}$, 否则再减小 λ 继续迭代。按上述过程, 得到单调序列 $\{f(x_k)\}$ 。 λ 称为下山因子, 要求满足 $0 < \varepsilon_\lambda \leq \lambda \leq 1$, ε_λ 为下山因子下限。一般可取 $\lambda = 1, \frac{1}{2}, \frac{1}{2^2}, \dots, \lambda \geq \varepsilon_\lambda$, 且使 $|f(x_{k+1})| < |f(x_k)|$ 。下山法放宽了初值 x_0 的选取条件, 有时用牛顿法不收敛, 但用下山法收敛。下面给出牛顿下山法的算法步骤。

算法 2.2 牛顿下山法

Input: 函数 $f(x)$ 满足 $f'(x) \neq 0$, 初始值 x_0 , 容差 $\varepsilon_1 > 0$, $\varepsilon_2 > 0$, 最大循环次数 max

Output: 根 x

Begin

$\lambda \leftarrow 1$ // 置下山因子 λ 为 1

For $i \leftarrow 0$ **to** max , **do**

$x = x_0 - \lambda \frac{f(x_0)}{f'(x_0)}$

If $|f(x)| < \varepsilon_1$ **and** $|x - x_0| < \varepsilon_2$, **then**

Return Success

End If

If $|f(x)| < |f(x_0)|$, **then**

$x_0 \leftarrow x$

$\lambda \leftarrow 1$

Else

```

        λ←0.5×λ
    End If
End For
Return Error
End

```

表 2.5 牛顿下山法迭代过程

k	x_k	$f(x_k)$	λ
0	0.58	-1.3848	0.001
1	0.73053	-1.34066	0.05
2	0.84206	-1.24498	0.1
3	0.95251	-1.08832	0.5
4	1.26855	-0.22719	1.
5	1.32790	0.01362	1.
6	1.32473	4.01009e-05	1.
7	1.32472	3.51380e-10	1.

【例 1】 方程 $f(x) = x^3 - x - 1 = 0$ 的一个根为 $x^* \approx 1.32472$ ，若取初值 $x_0 = 0.58$ ，用牛顿法计算 $x_1 = x_0 - \frac{f(x_0)}{f'(x_0)}$ ，则 x_1 比 x_0 误差更大，导致迭代不收敛。改用牛顿下山法 $x_{k+1} = x_k - \lambda \frac{f(x_k)}{f'(x_k)}$ ， $k = 0, 1, 2, \dots$ ， λ 的取值及迭代结果见表 2.5。

【例 2】 为对比分析牛顿法和牛顿下山法，程序示例 2.8 分别用此两种方法迭代计算点到椭圆的最近距离。在一百万次计算中：牛顿法失败 1045 次，牛顿下山法失败 18 次，所以牛顿下山法显著提高了迭代成功率。

程序示例 2.8 点到椭圆最近点计算程序

```

// a,b 是椭圆(x^2/a^2+y^2/b^2=1)长短轴长, (x,y)是一点
static double a = 1., b = 0.5, x = 0., y = 0.;
// 点 P=(x,y)到椭圆上的点 Q=(a*cos(t),b*sin(t))的距离为:
// d(t) = (a*cos(t)-x)^2+(b*sin(t)-y)^2, 当 Q 是最近点时 d'(t) = 0, 即:
// (a*cos(t)-x)*(-a*sin(t))+(b*sin(t)-y)*b*cos(t) = 0

```

```

double f(double t)
{
    double c = cos(t), s = sin(t);
    return (b*b-a*a)*c*s+x*a*s-y*b*c;
}

double df(double t)
{
    double c = cos(t), s = sin(t);
    return (b*b-a*a)*(c*c-s*s)+x*a*c+y*b*s;
}

// Newton method, return 0:no root, 1:one root
int newton(double(*f)(double t),
           double(*df)(double t),
           double t0,
           double e,
           int max,
           double& t)
{
    int i;
    double Y, d;

    t = t0;
    for( i = 0; i < max; i++ )
    {
        Y = f(t);
        d = df(t);
        if( fabs(d) < 1e-100 )
            return 0; // error
        d = Y/d;
        t -= d;
        if( fabs(Y) < e )
            return 1;
    }

    return 0;
}

// Newton down_hill method, return 0:no root, 1:one root
int newton2(double(*f)(double t),
            double(*df)(double t),
            double t0,
            double e,
            int max,
            double& t)
{
    int i, j;
    double Y, d, old, lemda;

    t = t0;
    for( i = 0; i < max; i++ )
    {
        old = f(t);
        d = df(t);
        if( fabs(d) < 1e-100 )
            return 0; // error
        d = old/d;
        lemda = 1.;
        for( j = 0; j < 8; j++ )
        {
            Y = f(t-lemda*d);
            if( fabs(old) > fabs(Y) )
                break;
            lemda *= (-0.5);
        }
        if( j < 8 ) // 调整 lemda 因子成功

```

```

        t -= lemnda*d ;
    else // 调整 lemnda 因子失败
    {
        t = d ;
        Y = f(t) ;
    }
    if( fabs(Y) < e )
        return 1 ;
}

return 0 ;
}

int main()
{
    int unsuc = 0 ;
    double t0, t ;

    for( int i = 0 ; i < 1000000 ; i++ ) // 1M 次
    {
        x = (double)rand()/RAND_MAX ;
        y = (double)rand()/RAND_MAX ;
        t0 = atan2(y, x) ; // [-PI,PI]
        //if( newton(f, df, t0, 1.e-6, 256, t) == 0 ) // 失败率:1045/1M
        if( newton2(f, df, t0, 1.e-6, 256, t) == 0 ) // 失败率:18/1M
            unsuc++ ;
    }

    return 0;
}

```

2.6 弦截法

牛顿法有较高的收敛速度，但要计算函数的导数，有一定的计算量。本节给出用近似值取代函数导数的方法，简化牛顿迭代算法。

(1) **单点弦截法**。用平均变化率 $\frac{f(x_k) - f(x_0)}{x_k - x_0}$ 来替牛顿迭代公式

$x_{k+1} = x_k - \frac{f(x_k)}{f'(x_k)}$ 中的导数 $f'(x_k)$ ，得到迭代公式

$$x_{k+1} = x_k - \frac{f(x_k)}{f(x_k) - f(x_0)}(x_k - x_0) \quad (2.14)$$

(2.14)式称**单点弦截法迭代公式**。单点弦截法的几何意义如图 2.16。两点 $(x_k, f(x_k))$ 和 $(x_0, f(x_0))$ 连线交 x 轴得 x_{k+1} ，连线均以 $(x_0, f(x_0))$ 作为一个端点，只有一个端点不断更换，故名为单点弦截法。不断重复这个过程得到 $\{x_n\}$ ， $\{x_n\}$ 逼近曲线 $y = f(x)$ 与 x 轴交点的横坐标 x^* 。

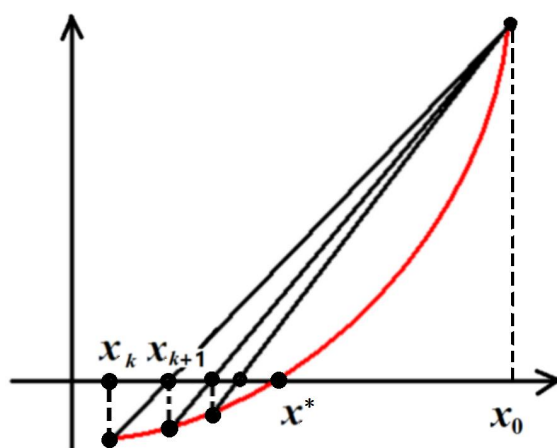


图 2.16 单点弦截法

(2) 双点弦截法。改用 $\frac{f(x_k) - f(x_{k-1})}{x_k - x_{k-1}}$ 代替导数 $f'(x_k)$ ，就可以得到双点弦截法迭代公式

$$x_{k+1} = x_k - \frac{f(x_k)}{f(x_k) - f(x_{k-1})}(x_k - x_{k-1}) \quad (2.15)$$

双点弦截法的几何意义如图 2.17。两点 $(x_{k-1}, f(x_{k-1}))$ 和 $(x_k, f(x_k))$ 连线与 x 轴交点的横坐标记为 x_{k+1} ，不断重复这个过程得到 $\{x_n\}$ ， $\{x_n\}$ 逼近曲线 $y = f(x)$ 与 x 轴交点的横坐标 x^* 。双点弦截法具有超线性敛速。注意在双点弦截法中，从两个初始点 x_0 和 x_1 开始迭代。假设 $f(x_0)f(x_1) < 0$ ，当 x_{k+1} 确定后，如果 $f(x_k)f(x_{k+1}) > 0$ ，则可以选择用 x_{k-1} 取代 x_k 后再计算 x_{k+2} ，从而保持 $f(x_k)f(x_{k+1}) < 0$ 。

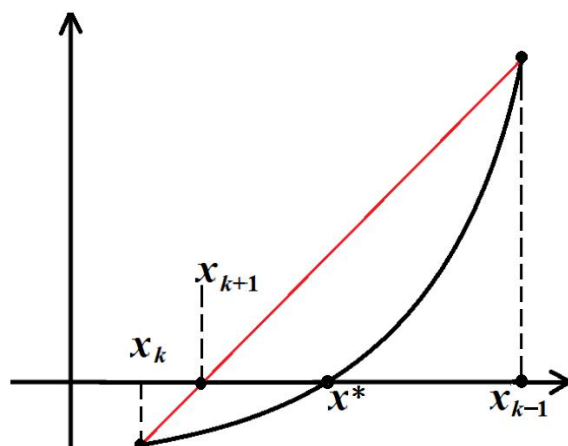


图 2.17 双点弦截法

穆勒(David E Muller)方法本质上也是弦截法。对于方程 $f(x)=0$ ，该方法输入为 x_0, x_1, x_2 及对应的函数值 f_0, f_1, f_2 ，构造一条二次函数 $g(x)=ax^2+bx+c$ 满足 $g(x_i)=f_i$ ， $i=0,1,2$ ，然后计算 $g(x)=0$ 的零点，取一个合适的零点作为 $f(x)=0$ 的近似根。若未达到收敛条件，则用该零点更新 x_0, x_1, x_2 和 f_0, f_1, f_2 ，继续迭代。

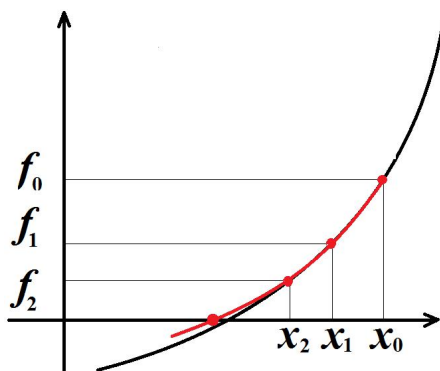


图 2.18 穆勒方法

2.7 哈雷法

对于非线性方程 $f(x)=0$ ，牛顿法在初始点 x_0 处构造切线，切线与 x 轴相交得到近似零点。按照此思路，可构造高阶收敛的迭代方法。比如构造二次函数 $g(x)$ ，该函数在初始点 x_0 处满足 $g(x_0)=f(x_0)$ ，

$g'(x_0) = f'(x_0)$, $g''(x_0) = f''(x_0)$, 用 $g(x)$ 的零点作为 $f(x) = 0$ 的近似零点, 通过迭代得到 $f(x) = 0$ 满足精度要求的零点。或者构造圆弧, 该圆弧在初始点 x_0 处与 $f(x) = 0$ 对应的曲线相切且具有相同的曲率中心。假设 x_k 是 $f(x) = 0$ 的近似零点, 根据 Taylor 公式,

$$f(x) \approx f(x_k) + f'(x_k)(x - x_k) + \frac{f''(x_k)}{2}(x - x_k)^2 \quad (2.16)$$

如何选取下一个迭代点 x_{k+1} ? 为使 x_{k+1} 进一步接近零点, x_{k+1} 最好满足如下等式,

$$0 = f(x_k) + f'(x_k)(x_{k+1} - x_k) + \frac{f''(x_k)}{2}(x_{k+1} - x_k)^2 \quad (2.17)$$

于是

$$0 = f(x_k) + (x_{k+1} - x_k) \left[f'(x_k) + \frac{f''(x_k)}{2}(x_{k+1} - x_k) \right] \quad (2.18)$$

$$x_{k+1} = x_k - \frac{f(x_k)}{f'(x_k) + \frac{f''(x_k)}{2}(x_{k+1} - x_k)} \quad (2.19)$$

从(2.18)式中直接解出 x_{k+1} 有一定的困难, 这里使用一个技巧, 即将(2.18)式改写成(2.19)式后, 再用牛顿迭代公式 $x_{k+1} - x_k = -\frac{f(x_k)}{f'(x_k)}$ 替换

$x_{k+1} - x_k$, 于是得到哈雷(Edmond Halley)迭代公式

$$x_{k+1} = x_k - \frac{f(x_k)f'(x_k)}{f'(x_k)^2 - f''(x_k)f(x_k)/2} \quad (2.20)$$

哈雷迭代公式收敛速度是 3 阶的。

2.8 非线性方程组

与求解单变量非线性方程相比, 非线性方程组的求解要难得多。一维情形较易找到根的范围, 而多维情况则很难确定解集的结构。单

变量非线性方程的解可能是孤立的“点”，双变量非线性方程组的解集可以构成“曲线”，而三个变量的非线性方程组的解集也许是“曲面”。总之，非线性方程组的解集（解空间）可能相当复杂。

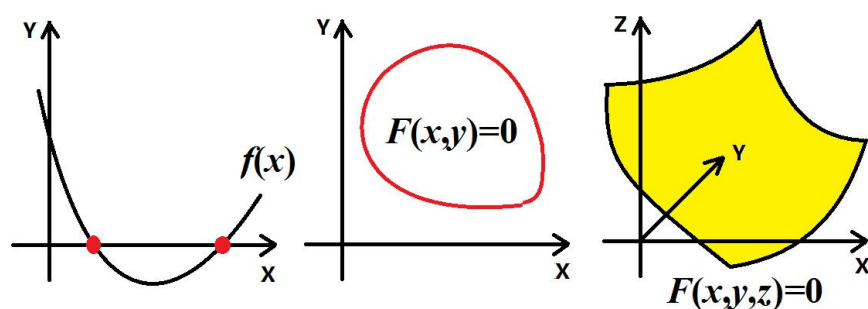


图 2.19 非线性方程与非线性方程组的解集结构对比

非线性方程组表示为：

$$\begin{cases} f_1(x_1, \dots, x_n) = 0 \\ \vdots \\ f_m(x_1, \dots, x_n) = 0 \end{cases} \quad (2.21)$$

(2.21) 式简记为

$$F(X) = \begin{pmatrix} f_1(X) \\ \vdots \\ f_m(X) \end{pmatrix} \quad (2.22)$$

方程组的 Jacobi 矩阵记为：

$$J(X) = \begin{pmatrix} \frac{\partial f_1}{\partial x_1} & \dots & \frac{\partial f_1}{\partial x_n} \\ \vdots & \dots & \vdots \\ \frac{\partial f_m}{\partial x_1} & \dots & \frac{\partial f_m}{\partial x_n} \end{pmatrix}_{m \times n} \quad (2.23)$$

根据多元函数的 Taylor 公式：

$$F(X + \Delta X) \approx F(X) + J(X)\Delta X \quad (2.24)$$

利用 Newton 迭代方法，在有初始值的情况下，可以通过数值方法解方程(2.24)，得到

$$\Delta X = -(J(X))^+ F(X) \quad (2.25)$$

(2.25)式中上标“+”表示广义逆矩阵。下面以二元非线性方程组(2.26)为例推导牛顿迭代公式：

$$\begin{cases} f(x, y) = 0 \\ g(x, y) = 0 \end{cases} \quad (2.26)$$

根据多元函数的 Taylor 展开公式，可推出以下两个公式：

$$f(x + \Delta x, y + \Delta y) \approx f(x, y) + \Delta x f_x(x, y) + \Delta y f_y(x, y) \quad (2.27)$$

$$g(x + \Delta x, y + \Delta y) \approx g(x, y) + \Delta x g_x(x, y) + \Delta y g_y(x, y) \quad (2.28)$$

令

$$f(x, y) + \Delta x f_x(x, y) + \Delta y f_y(x, y) = 0 \quad (2.29)$$

$$g(x, y) + \Delta x g_x(x, y) + \Delta y g_y(x, y) = 0 \quad (2.30)$$

可以得到

$$\Delta x = \frac{\begin{vmatrix} -f & f_y \\ -g & g_y \end{vmatrix}}{\begin{vmatrix} f_x & f_y \\ g_x & g_y \end{vmatrix}} \quad \Delta y = \frac{\begin{vmatrix} f_x & -f \\ g_x & -g \end{vmatrix}}{\begin{vmatrix} f_x & f_y \\ g_x & g_y \end{vmatrix}} \quad (2.31)$$

写成迭代公式的形式：

$$x_{k+1} = x_k - \frac{\begin{vmatrix} f & f_y \\ g & g_y \end{vmatrix}}{\begin{vmatrix} f_x & f_y \\ g_x & g_y \end{vmatrix}} \quad y_{k+1} = y_k - \frac{\begin{vmatrix} f_x & f \\ g_x & g \end{vmatrix}}{\begin{vmatrix} f_x & f_y \\ g_x & g_y \end{vmatrix}} \quad (2.32)$$

注意(2.32)式中 f, f_x, f_y, g, g_x, g_y 略去了自变量 (x_k, y_k) 。

为减少计算量和提高解的精度，一般不会直接利用上述方法求解。先需要对方程组进行分解，最大限度地降低数值求解过程中变量和方程的个数。最简单的分解是分块，使相互独立的方程组可以单独被求解，其次可以利用矩阵分块的方法，将方程分解成上三角的形式，

然后依次求解：

$$\begin{pmatrix} \vdots \\ \vdots \\ \vdots \end{pmatrix} = \begin{pmatrix} \vdots \\ \vdots \\ \vdots \end{pmatrix} \Rightarrow \begin{pmatrix} A_{11} & & \\ A_{21} & A_{22} & \\ \vdots & & \ddots \\ A_{k1} & \cdots & \cdots & A_{kk} \end{pmatrix} \begin{pmatrix} x_1 \\ \vdots \\ \vdots \\ x_n \end{pmatrix} = \begin{pmatrix} b_1 \\ \vdots \\ \vdots \\ b_n \end{pmatrix} \quad (2.33)$$

下面以草图约束求解为例，进一步说明在实际应用中非线性方程组的求解过程。在三维特征造型系统中，草图求解非常重要。草图就是一个几何约束系统，将点、线段、圆转化为变量，几何约束（如平行、垂直等关系）和尺寸约束（如距离、半径等标注）转化为方程，可将草图对应为非线性方程组。图 2.20 是由 6 个点、9 个约束构成的草图，该草图对应一个 12 个变量（一个点对应两个变量）、9 个方程（一个约束对应一个方程）的非线性方程组。在求解过程中，草图通常被看作是一个图 $\Omega=(V,E)$ （图论中的图），顶点集合 V 就是点、线段、圆等几何元素，边集合 E 就是几何元素之间的尺寸约束或几何约束。通过特殊算法可以将图 Ω 分解为子图，再用数值方法单独求解。图 2.21 中三角形 ABC 和 DEF 构成刚体 1 和刚体 2，图中带 2 的圆圈表示一个点有两个自由度，可以先单独求解两个刚体，再将两个刚体作为独立的整体求解，满足约束 d7,d8,d9。该方法降低了方程求解规模，提高了解的精度。

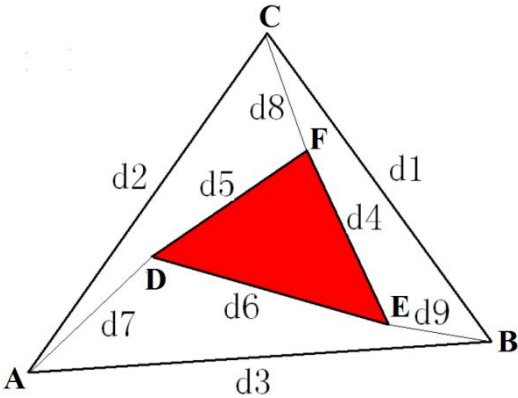


图 2.20 草图

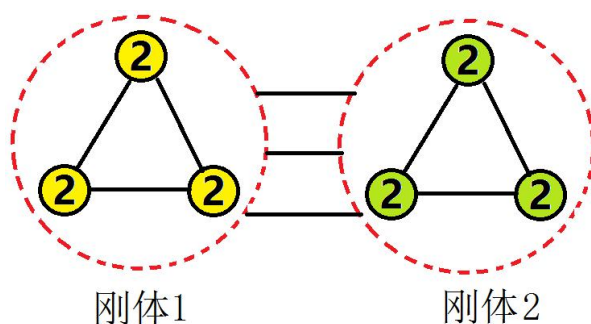


图 2.21 三角形 ABC 和 DEF 构成两个刚体

2.9 迭代法应用

迭代法结合具体的问题有广泛的应用。下面给出一个迭代法的应用实例：已知三条平面曲线及其上面三个初始切点，求解一个圆与三条曲线都相切。

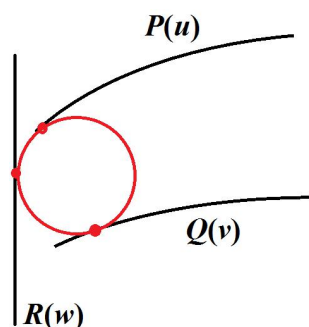


图 2.22 三边倒圆在叶片截面线建模中的应用

【例】 三边倒圆。已知平面曲线 $P(u)$, $Q(v)$, $R(w)$ 及初始切点 $P(u_0)$, $Q(v_0)$, $R(w_0)$ ，求圆心 $O(x, y)$ 和半径 r ，使对应的圆与三条曲线相切。这里曲线是用矢量的形式表示的，例如 $P(u) = \begin{pmatrix} \cos t \\ \sin t \end{pmatrix}$ 。

解： 根据曲线和圆相切的几何条件可以列出方程组：

$$\begin{cases} (\mathbf{P}(u) - \mathbf{O}, \mathbf{P}_u(u)) = 0 \\ (\mathbf{Q}(v) - \mathbf{O}, \mathbf{Q}_v(v)) = 0 \\ (\mathbf{R}(w) - \mathbf{O}, \mathbf{R}_w(w)) = 0 \\ (\mathbf{P}(u) - \mathbf{O}, \mathbf{P}(u) - \mathbf{O}) = r^2 \\ (\mathbf{Q}(v) - \mathbf{O}, \mathbf{Q}(v) - \mathbf{O}) = r^2 \\ (\mathbf{R}(w) - \mathbf{O}, \mathbf{R}(w) - \mathbf{O}) = r^2 \end{cases} \quad (2.34)$$

在此非线性方程组中，变量为 u, v, w, x, y, r ，前 3 个方程表示相切，后 3 个方程表示切点到圆心距离等于半径， (\cdot) 表示矢量的内积。令

$$a(u, v, w, x, y, r) = (\mathbf{P}(u) - \mathbf{O}, \mathbf{P}_u(u)) \quad (2.35)$$

$$b(u, v, w, x, y, r) = (\mathbf{Q}(v) - \mathbf{O}, \mathbf{Q}_v(v)) \quad (2.36)$$

$$c(u, v, w, x, y, r) = (\mathbf{R}(w) - \mathbf{O}, \mathbf{R}_w(w)) \quad (2.37)$$

$$d(u, v, w, x, y, r) = (\mathbf{P}(u) - \mathbf{O}, \mathbf{P}(u) - \mathbf{O}) - r^2 \quad (2.38)$$

$$e(u, v, w, x, y, r) = (\mathbf{Q}(v) - \mathbf{O}, \mathbf{Q}(v) - \mathbf{O}) - r^2 \quad (2.39)$$

$$f(u, v, w, x, y, r) = (\mathbf{R}(w) - \mathbf{O}, \mathbf{R}(w) - \mathbf{O}) - r^2 \quad (2.40)$$

构造迭代公式，

$$\begin{bmatrix} a_u & a_v & a_w & a_x & a_y & a_r \\ b_u & b_v & b_w & b_x & b_y & b_r \\ c_u & c_v & c_w & c_x & c_y & c_r \\ d_u & d_v & d_w & d_x & d_y & d_r \\ e_u & e_v & e_w & e_x & e_y & e_r \\ f_u & f_v & f_w & f_x & f_y & f_r \end{bmatrix} \begin{bmatrix} \Delta u \\ \Delta v \\ \Delta w \\ \Delta x \\ \Delta y \\ \Delta r \end{bmatrix} = \begin{bmatrix} -a \\ -b \\ -c \\ -d \\ -e \\ -f \end{bmatrix} \quad (2.41)$$

u, v, w 的初始值是已知的，过 $\mathbf{P}(u_0), \mathbf{Q}(v_0), \mathbf{R}(w_0)$ 三个点做圆得到圆心和半径的初始值 x_0, y_0, r_0 。通过上面的迭代公式得到满足精度要求的圆心和半径：

$$\begin{cases} u_{n+1} = u_n + \Delta u \\ v_{n+1} = v_n + \Delta v \\ w_{n+1} = w_n + \Delta w \\ x_{n+1} = x_n + \Delta x \\ y_{n+1} = y_n + \Delta y \\ r_{n+1} = r_n + \Delta r \end{cases} \quad (2.42)$$

2.10 总结

用数值方法求解非线性方程，优点是：(1)算法通用性强，(2)算法实现简单，缺点是：(1)精度低，(2)效率低，(3)有时给出的解不合理。关于非线性方程及非线性方程组，不存在通用的求解方法，确定解的结构、范围最困难，可根据初始值用牛顿法迭代得到单个解。在数值计算中，迭代是一种最常用的思路。

练习题：

1. 定点法的收敛条件是什么？
2. 输入函数 $f(x)$ ，区间 $[a, b]$ ，容差 $\epsilon > 0$ ，最大迭代次数 MAXIT，试绘制二分法求解过程的算法流程图。
3. 用二分法在区间 $[0, 1]$ 内求解 $f(x) = e^x - 2$ （自定合理的收敛条件，要求至少迭代 10 次），（1）用 C 语言实现求解算法；（2）根据收敛速度的定义估算此迭代过程的收敛速度；（3）给出用双精度浮点数求解此方程所能达到的最高精度的根。
4. 在 2.3 节中给出的收敛速度定义是否适用于二分法？
5. 输入 $x = \varphi(x)$ 、 $[a, b]$ 区间及收敛容差 ϵ ，绘制出定点法流程图、编程实现通用算法并做完整测试（使用埃特金加速法）。
6. 牛顿迭代的收敛条件是什么？
7. 编写一个求解一元二次方程的算法，要求用修正的求根公式得到根

之后，在需要的情况下用牛顿法迭代提高解的精度，参考下面产生随机数的代码，用随机数验证该算法。

程序示例 2.9 生成[0,1]随机数的程序

```
#include "stdafx.h"
#include "stdlib.h"
#include "time.h"

int main()
{
    srand((unsigned)time(NULL)); // 用当前时间设定种子
    double r = (double)rand()/RAND_MAX ; // 生成一个[0,1]内的随机数
    return 0;
}
```

8. 基于牛顿下山法用 C 语言实现求二维点 (x_0, y_0) 到椭圆（方程为：

$\frac{x^2}{a^2} + \frac{y^2}{b^2} = 1$ ）最近距离的算法，并用随机数验证算法的有效性。点到

椭圆最近距离的相关几何关系见下图所示：

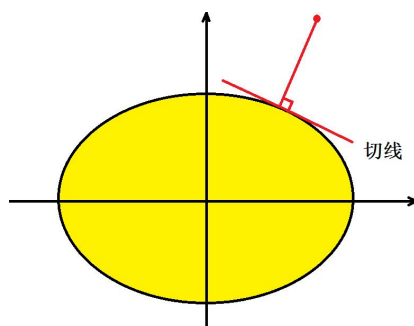


图 2.23 点到椭圆最近距离

9. (1) 给定 f_0, f_1, f_2, f_3 ，求系数 a, b, c, d 使有理多项式 $\lambda(t) = \frac{t+d}{at^2+bt+c}$ 满足当 $t=0$ 时函数值及 1 至 3 阶导数为 f_0, f_1, f_2, f_3 ；(2) 试以 (1) 的结果为依据构造出求解非线性方程的迭代公式，并分析收敛速度。